

# مطالعه‌ی عددی پارامتریک استفاده از روش اختلاط عمیق خاک برای پایدارسازی شیروانی‌ها

حسن شوفی\* (استادیار)

دانشکده‌ی عمران، دانشگاه رازی، کرمانشاه

عبدالله جعفری (کارشناس ارشد)

دانشکده فنی و مهندسی، دانشگاه آزاد اسلامی، واحد اراک

در پژوهش حاضر با انجام تحلیل‌های پارامتریک، پایدارسازی شیروانی‌ها با استفاده از روش اختلاط عمیق خاک بررسی شده است. جهت انجام تحلیل‌های لازم از روش عددی اجزاء محدود و نرم‌افزار PLAXIS استفاده و سپس نتایج روش مذکور با نتایج روش تعادل حدی حاصل از نرم‌افزار Slope/w مقایسه شده است. پارامترهای مورد بررسی در پژوهش حاضر شامل: اثر محل قرارگیری اولین ردیف ستون‌های اختلاط عمیق در طول پی شیروانی، نسبت مساحت بهسازی شده در طول پی شیروانی، طول، قطر، ضریب چسبندگی و فاصله بین ستون‌های اختلاط عمیق، موقعیت قرارگیری سطح آب در پی و همچنین اثر سربار بوده است که براساس نتایج حاصل از تحلیل‌های مدل به مرد رو ش اجزاء محدود و تعادل حدی، با افزایش پارامترهای نظیر مقدار نسبت جایگزینی، مقادیر سطح، قطر چسبندگی مصالح، طول ستون‌های اختلاط عمیق، عمق قرارگیری سطح آب زیرزمینی نسبت به سطح پی شیروانی، ضریب اطمینان پایداری شیروانی همواره افزایش می‌یابد.

h\_sharafi@iust.ac.ir  
jaafari2020@yahoo.com

وازگان کلیدی: شیروانی، اختلاط عمیق خاک، اجزاء محدود، تعادل حدی، ضریب اطمینان پایداری.

## ۱. مقدمه

منظور بررسی مسئله‌ی پایدارسازی شیروانی‌های خاکی با استفاده از روش اختلاط عمیق خاک، از نرم‌افزار اجزاء محدود 2D PLAXIS نسخه‌ی ۸/۲، به دلیل توانایی بالای آن در مدل‌سازی مسائل گوناگون استفاده شده است. همچنین نتایج حاصل از روش عددی با نتایج روش تعادل حدی که با نرم‌افزار Slope/w انجام می‌شود، مقایسه شده است. در پژوهش حاضر، اثرات عوامل گوناگون مقاومتی و هندسی خاک و ستون‌های اختلاط عمیق در ضریب اطمینان پایداری شیروانی بررسی شده است. بررسی تأثیر عواملی چون محل قرارگیری اولین ردیف ستون‌های اختلاط عمیق در طول پی شیروانی، نسبت مساحت بهسازی شده در طول پی شیروانی، طول، قطر، ضریب چسبندگی و فاصله بین ستون‌های اختلاط عمیق، موقعیت قرارگیری سطح آب در پی و همچنین اثر سربار بوده است که در برآوردهای نظری سیمان یا آهک توسط یک محور توتولی شیروانی‌ها در برابر گسیختگی، روش‌های گوناگونی وجود دارد.<sup>[۱]</sup> یکی از روش‌های نوین جهت پایدارسازی شیپهای خاکی، استفاده از ستون‌های اختلاط عمیق خاک است. اختلاط عمیق، یکی از روش‌های بهبود خاک‌های ریزدانه و تثبیت آهاست که در آن مواد پایدارکننده نظیر سیمان یا آهک توسط یک محور توتولی به خاکی که قبلًا توسط مته‌های حفاری بریده شده است، تزریق و با آن ترکیب می‌شود. حاصل این عمل تشکیل ستون‌هایی با خواص مکانیکی و فیزیکی مناسب‌تر از خاک محل است. مواد افزودنی علاوه بر بهبود خصوصیات خمیری خاک‌های ریزدانه، باعث افزایش مقاومت آن نیز می‌شود.<sup>[۲]</sup> در پژوهش حاضر، به

\* نویسنده مسئول

تاریخ: دریافت ۱۳/۴/۱۳۹۴، اصلاحیه ۲۲/۱۰/۱۳۹۴، پذیرش ۱۱/۴/۱۳۹۴.

## ۲. مراحل مدل‌سازی مسئله

### ۱.۲. ترسیم هندسه‌ی مدل

برای ایجاد مدل مسئله‌ی پایدارسازی شیروانی با استفاده از ستون‌های اختلاط عمیق

جدول ۱. مشخصات مصالح بی و ستون اختلاط عمیق.

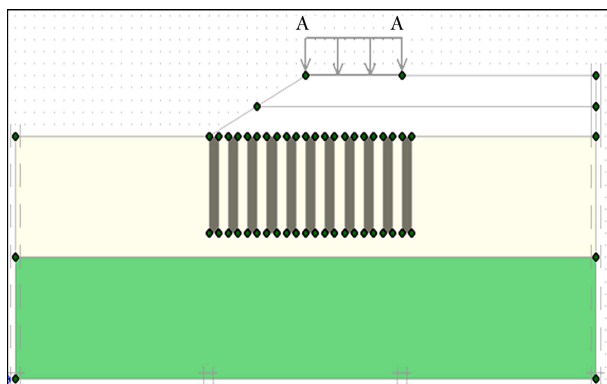
$\gamma$	$E$ ( $kN/m^2$ )	$\varphi$ (درجه)	$C$ ( $kN/m^3$ )	$\gamma_{sat}$ ( $kN/m^3$ )	$\gamma_t$ ( $kN/m^3$ )	مصالح رس نرم
۰,۳۵	۵۰۰۰	۵	۲۵	۱۸	۱۶	مصالح رس نرم
۰,۳	۶۰۰۰۰	۳۵	۱	۲۱	۲۰	مصالح ماسه‌بی

## ۲.۲. انجام محاسبات

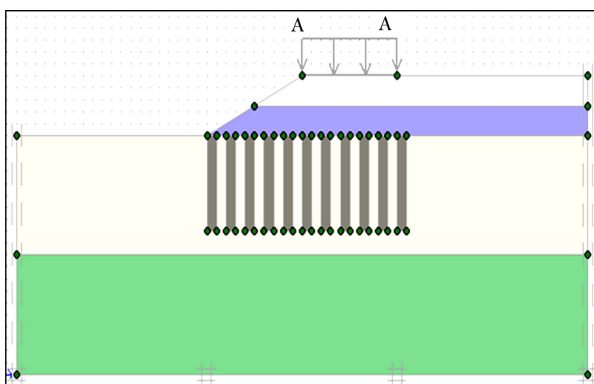
بعد از ایجاد مدل مسئله، محاسبات به روش اجراء محدود انجام می‌شود. با توجه به اینکه عملاً هر پروژه‌ی مهندسی از چند مرحله‌ی گوناگون تشکیل می‌شود، بنابراین در مرحله‌ی انجام محاسبات باید تمامی مراحل گوناگون ساخت مسئله را مدل‌سازی کرد.<sup>[۱]</sup> مراحل ساخت مدل جهت انجام محاسبات مربوط به بررسی اثر طرح بهسازی با ستون‌های اختلاط عمیق در پایداری یک شیروانی به این صورت است:

- مرحله‌ی ۱: ستون‌های اختلاط عمیق که با توجه به بررسی هر یک از پارامترهای مورد نظر مدل سازی شده‌اند، فعال می‌شوند؛
- مرحله‌ی ۲: لایه‌ی اول خاکریز ساخته می‌شود؛
- مرحله‌ی ۳: لایه‌ی دوم خاکریز ساخته می‌شود؛
- مرحله‌ی ۴: بارگذاری لازم با توجه به فشارهای موردنظر اعمال می‌شود. نوع محاسبات در تمامی مراحل ۱ تا ۴ به روش خمیر است.

مرحله‌ی ۵: تحلیل پایداری مدل به روش کاهش مقاومت بشی (phi-c reduction) انجام می‌شود. کلیه‌ی این مراحل در شکل‌های ۲ الی ۵ آراهه شده است.



شکل ۲. مرحله‌ی ۱ انجام محاسبات (اجرای ستون‌های اختلاط عمیق).



شکل ۳. مرحله‌ی ۲ انجام محاسبات (اجرای لایه‌ی اول خاکریز).

خاک، ابتدا باید ابعاد و مدل اجزاء محدود مناسب برای مسئله در نظر گرفته شود. با توجه به شرایط مسئله از حالت کرشم صفحه‌ی برای مدل استفاده شده است. نرم افزار مذکور برای انجام تحلیل مدل از المان‌های مثلثی استفاده شده که در پژوهش حاضر از المان‌های ۱۵ گرهی (با ۱۲ نقطه‌ی گوس ( نقاط تنش )) برای مدل‌سازی استفاده شده است.<sup>[۲]</sup> پس از پایان تنظیمات عمومی، هندسه‌ی مدل ترسیم شده است. شکل کای مدل و اجزاء گوناگون موجود در آن مطابق شکل ۱ است.

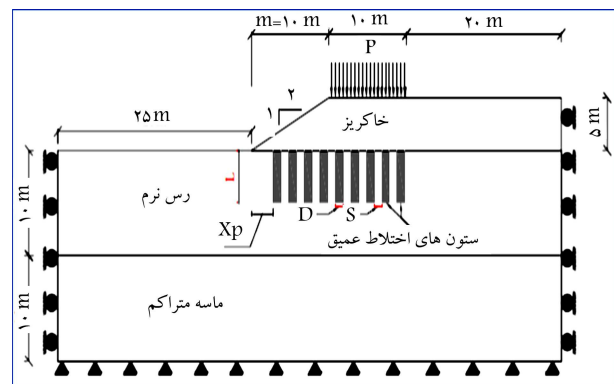
پارامترهای گوناگون موجود در شکل ۱ به این شرح هستند:  $L$  طول ستون‌های اختلاط عمیق به متر،  $S$  فاصله بین ستون‌های اختلاط عمیق به متر،  $D$  قطر ستون‌های اختلاط عمیق بر حسب متر،  $m$  طول ضلع افقی شیروانی معادل ۱۰ متر،  $X_p$  محل قرارگیری اولین ردیف ستون‌های اختلاط عمیق نسبت به پنجه‌ی شیروانی بر حسب متر،  $P$  سربار بر حسب کیلوپاسکال ( $kN/m^2$ ). در جدول ۱، مشخصات مصالح به کار رفته در بی و ستون اختلاط عمیق مشخص شده است.

با توجه به مطالعات انجام شده توسط اداره‌ی فدرال بزرگراه‌های آمریکا (FHWA)، رابطه‌ی ۱ برای پارامترهای مقاومتی مصالح ستون‌های اختلاط عمیق پیشنهاد شده است که حد بالای آن مربوط به نسبت آب به سیمان‌های بالا و حد پایین آنها حاصل از نسبت آب به سیمان‌هایی با مقادیر کمینه است. مقادیر مورد استفاده در پژوهش حاضر نیز با توجه به این مقادیر و دیگر پژوهش‌های انجام شده در این خصوص تعیین شده است:

$$C_u = (10 \text{ to } 50) \times C_u \text{ of soil} \quad (1)$$

$$E = (50 \text{ to } 200) \times C_u$$

با توجه به اینکه هدف از انجام پژوهش حاضر، تحلیل پارامتری است، بنابراین با تغییر یک پارامتر، اثر آن در رفتار مدل بررسی شده است. در هنگام ایجاد هندسه‌ی مدل باید مزهای آن به مقام کافی دور انتخاب شود، به طوری که از اثرات ناشی از مرز در نتایج تحلیل جلوگیری شود.<sup>[۱]</sup>



شکل ۱. نمای کلی مدل شیروانی واقع بر خاک بهسازی شده با روش اختلاط عمیق.

## -- چسبندگی مصالح ستون های اختلاط عمیق ( $C_D$ ).

لازم به ذکر است که در مطالعات مربوط به مسائل بهسازی پی با روش اختلاط عمیق، پارامتری به نام نسبت مساحت بهسازی شده در طول پی شیروانی وجود دارد، که به آن نسبت جایگزینی سطح ( $r$ ) گفته می شود و از رابطه  $i$  تعیین می شود:

$$r = \frac{A_c}{A_t} \quad (2)$$

که در آن،  $A_c$  مساحت کل ستون ها و  $A_t$  مساحت کل است.<sup>[۱۵]</sup>

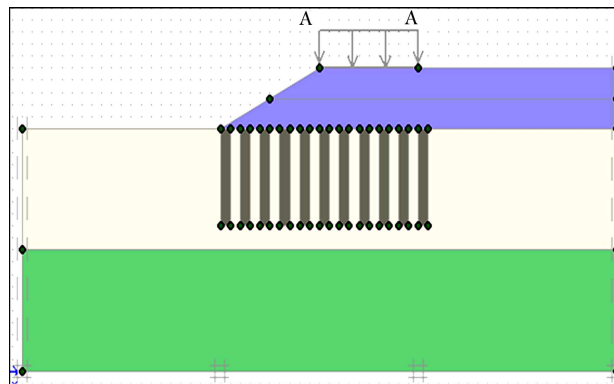
## ۱.۳. بررسی اثر محل قرارگیری اولین ردیف ستون های اختلاط عمیق ( $X_p/m$ ) در طول پی شیروانی

برای بررسی اثر محل قرارگیری اولین ردیف ستون های اختلاط عمیق در طول پی شیروانی در پایداری شبیه، مدل هایی از یک ردیف ستون با نسبت ( $X_p/m$ ) های برابر با  $۰,۲, ۰,۴, ۰,۶, ۰,۸, ۰,۱$  ایجاد و تحلیل شده اند.  $X_p$  محل قرارگیری اولین ردیف ستون های اختلاط عمیق نسبت به پنجهای شبیه و  $m$ ، طول افقی شیروانی است، که برابر با  $۱۰$  متر در نظر گرفته شده است. در تمامی تحلیل های مذکور، مقدار قطر ستون ( $D$ ) برابر با  $۲$  متر، طول آن ( $L$ ) برابر با  $۱۰$  متر و مقدار سربار ( $P$ ) برابر با  $۵$  کیلو نیوتن بر متر مربع بوده است. پس از انجام تحلیل های لازم، اثر این پارامتر در ضریب اطمینان پایداری شیروانی با استفاده از دو روش عددی اجزاء محدود (نرم افزار PLAXIS) و روش تعادل حدی (نرم افزار Slope/W) ارزیابی شده است.

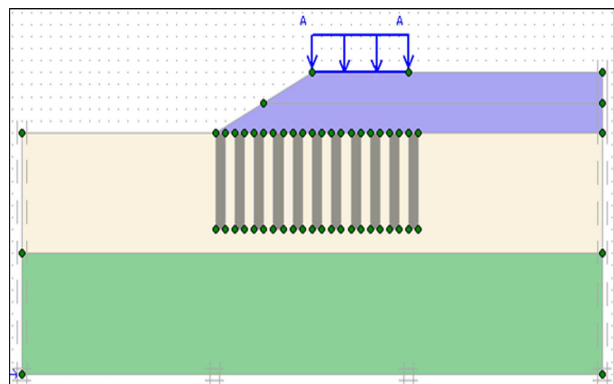
همانگونه که در شکل ۱ ملاحظه می شود، مدل مورد بررسی شامل یک لایه خاک رسی نرم با مقاومت برشی پایین است که بر روی یک لایه ماسه می تراکم قرار دارد. لایه خاک رس نرم با استفاده از روش اختلاط عمیق بهسازی می شود و سپس خاکریز بر روی آن ساخته می شود. با توجه به اینکه در رس های نرم، مقاومت برشی زهکشی نشده کمتر از پارامترهای زهکشی شده است، بنابراین تحلیل ها و بررسی ها برای حالت بحرانی مسئله، یعنی پایداری کوتاه مدت آن که مقارن زمان پایان ساخت خاکریز است، انجام شده است.

در شکل ۶، با استفاده از نتایج حاصل از تحلیل های مدل به روش اجزاء محدود، تغییرات ضریب اطمینان پایداری شیروانی به ازاء مقادیر گوناگون  $X_p/m$  های ستون های اختلاط عمیق ارائه شده است. مطابق شکل مذکور با افزایش مقدار  $X_p/m$  یا به عبارتی دیگر، با افزایش فاصله ای موقعیت قرار اولین ردیف ستون های اختلاط عمیق نسبت به پنجهای شیروانی، ضریب اطمینان پایداری شیروانی به میزان کمیه است.

با توجه به تحلیل های انجام شده در پژوهش حاضر، به ازاء  $X_p/m$  برابر با  $۰,۴$ ، مقدار ضریب اطمینان پایداری در برابر لغزش کمینه می شود. در حالی که در روش تعادل حدی با افزایش مقدار  $X_p/m$  یا به عبارتی دیگر، با افزایش فاصله ای موقعیت قرار اولین ردیف ستون های اختلاط عمیق نسبت به پنجهای شیروانی، ضریب اطمینان پایداری در برابر لغزش همواره کاهش می یابد. همچنین نکته دیگری که در شکل ۶ مشاهده می شود، این است که در هر دو روش، بیشترین ضریب اطمینان پایداری در حالتی حاصل می شود که اولین ردیف ستون های اختلاط عمیق در پنجهای شیروانی اجرا شود. در واقع بالاترین ضریب اطمینان در صورتی به دست



شکل ۴. مرحله ۳ انجام محاسبات (اجرای لایه دوم خاکریز).



شکل ۵. مرحله ۴ انجام محاسبات (بارگذاری بر روی خاکریز).

مطالعات بسیاری در سال های اخیر<sup>[۲۲-۵]</sup> به منظور شناخت رفتار ستون های اختلاط عمیق و تثبیت شیمیایی خاک به وسیله افزودنی ها انجام شده است. نکته احائز اهمیت آن است که در مطالعات مذکور تأکید کلی بر دو عامل مهم نوع ستون اختلاط عمیق به لحاظ مصالح اختلاط عمیق و نیز هندسه ای ستون و زمین (مسطح یا شبیه دار) تحت بهسازی بوده است. در پژوهش حاضر سعی شده است که این دو عامل مهم در چارچوب تحلیل های پارامتری، برای یک مورد به خصوص مطالعه عددی شوند. در پخش بعد، روند مدل سازی عددی نوشتار حاضر ارائه شده است.

## ۳. نتایج تحلیل ها

به منظور بررسی تأثیر بهسازی به روش اختلاط عمیق در پایداری شیروانی خاکی، پارامترهای گوناگونی می تواند در نظر گرفته شود. در هر تحلیل با ثابت نگداشت سایر پارامترها، یک پارامتر ویژه تغییر داده می شود و اثرات آن در پایداری شیروانی مورد بررسی قرار می گیرد. پارامترهای متغیر در پژوهش حاضر شامل این موارد است:

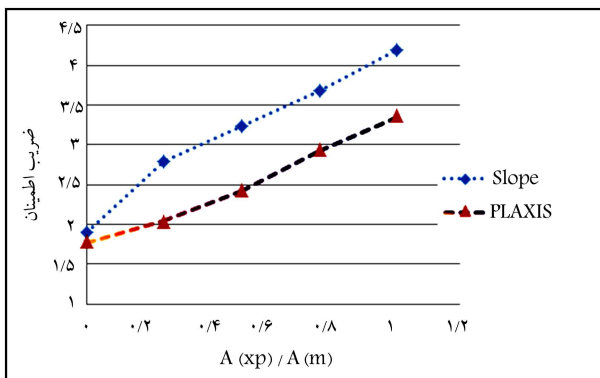
-- محل قرارگیری اولین ردیف ستون های اختلاط عمیق در طول پی شیروانی ( $X_p/m$ ):

-- نسبت مساحت بهسازی شده در طول پی شیروانی ( $A_{Xp}/A_m$ ):

-- قطر ستون های اختلاط عمیق ( $D$ ):

-- طول ستون های اختلاط عمیق ( $L$ ):

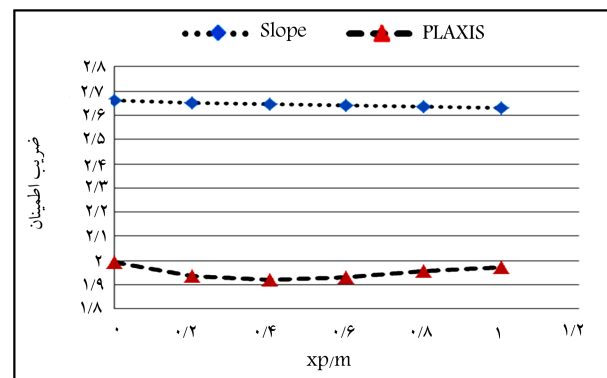
-- فاصله ای بین ستون های اختلاط عمیق ( $S$ ):



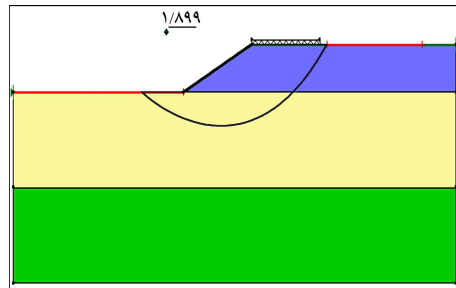
شکل ۹. تغییرات ضریب اطمینان پایداری شیروانی به ازاء مقادیر گوناگون  $A_{xp}/A_m$

واحد (در راستای عمود بر صفحه)، برابر با  $10^{\circ}$  مترمربع است. در تمامی تحلیلهای ذکرشده، ستون‌ها با یکدیگر هم‌بوشانی دارند، یعنی فاصله‌ی مابین آن‌ها صفر در نظر گرفته شده است که این منجر به ایجاد سطح یکنواختی از مصالح اختلاط عمیق در زیر پی شیروانی می‌شود. طول ستون‌ها نیز برابر با  $10$  متر و مقدار سربار ( $P$ ) برابر با  $5$  کیلونیوتن بر مترمربع است. در شکل ۹، با استفاده از نتایج حاصل از تحلیلهای مدل به روش اجزاء محدود و روش تعادل حدی، تغییرات ضریب اطمینان پایداری شیروانی به ازاء مقادیر گوناگون نسبت سطح جایگزینی ( $A_{xp}/A_m$ )، ارائه شده است.

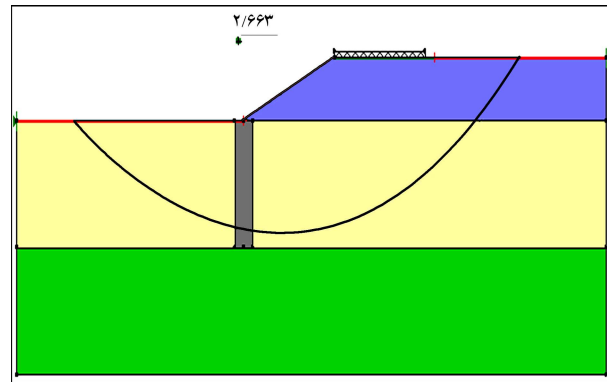
مطابق شکل ۹، با افزایش مقدار ( $A_{xp}/A_m$ ) و با به عبارتی دیگر با افزایش درصد سطح بهسازی شده‌ی پی شیروانی، ضریب اطمینان پایداری در برابر لغزش همواره افزایش می‌یابد. مثلاً در روش اجزاء محدود با افزایش نسبت جایگزینی سطح پی زیر شیروانی از  $2/5$  به  $1$ ، مقدار ضریب اطمینان پایداری از  $2/0$  به  $3/371$  افزایش یافته است. همان‌گونه که ملاحظه می‌شود، رابطه‌ی تغییرات نسبت جایگزینی سطح با ضریب اطمینان پایداری در برابر لغزش شبیه را می‌توان با یک معادله‌ی درجه دوم بیان کرد. ولی در روش تعادل حدی به صورت یک معادله‌ی چندخطی است. البته در صورتی که از نقطه‌ی اول نمودار که مربوط به حالت بدون بهسازی است، صرف‌نظر شود، این رابطه را می‌توان کاملاً خطی در نظر گرفت.



شکل ۶. تغییرات ضریب اطمینان پایداری شیروانی به ازاء مقادیر گوناگون  $X_{p/m}$  های ستون‌های اختلاط عمیق.



شکل ۷. گوهی لغزش بحرانی و ضریب اطمینان پایداری حاصل از تحلیل مدل خاکریز ایجادشده بر روی خاک طبیعی (قبل از بهسازی).



شکل ۸. گوهی لغزش بحرانی و ضریب اطمینان پایداری حاصل از تحلیل مدل بعد از بهسازی و به ازاء  $X_{p/m}$  برابر با صفر.

می‌آید که ستون‌های اختلاط عمیق در بخش مقاوم گوهی لغزش بحرانی ایجاد شوند (شکل‌های ۷ و ۸).

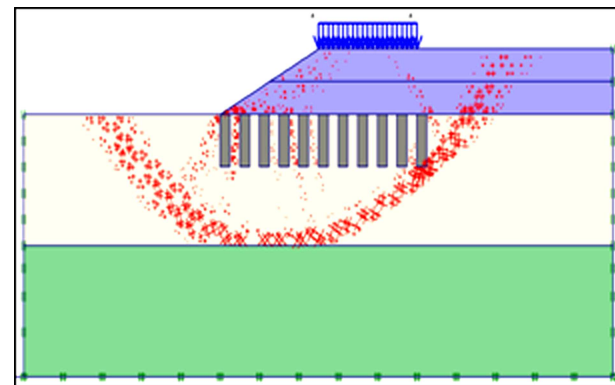
### ۳.۳. بررسی اثر قطر ستون‌های اختلاط عمیق (D)

برای بررسی اثر قطر ستون‌های اختلاط عمیق، مدل‌هایی از ستون با قطرهای متفاوت ( $1, 1/5, 2, 2/5, 5$  متر، طول ( $L$ )  $10$  متر، فاصله‌ی افقی بین ستون‌ها ( $S$ ) برابر  $1$  ایجاد و تحت سربار ( $P$ )  $5$  کیلونیوتن بر مترمربع تحلیل و اثر این پارامتر در ضریب اطمینان پایداری شیروانی ارزیابی شده است. لازم به بیان است که مطابق با مدل شکل ۱، ستون‌ها از پنجه‌ی شیروانی اجرا می‌شوند و تا زیر قسمت انتهایی محل اثر سربار ادامه می‌یابند.

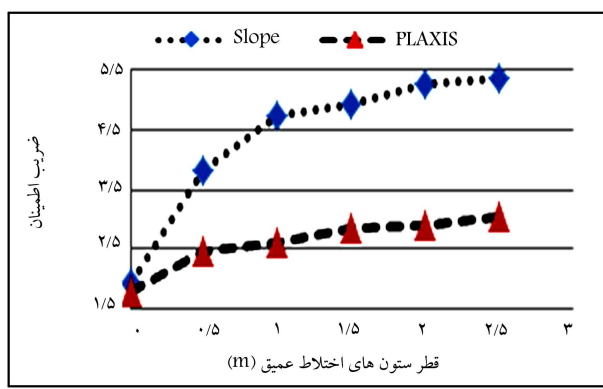
در شکل ۱۰، با استفاده از نتایج حاصل از تحلیلهای مدل به روش اجزاء محدود و روش تعادل حدی، تغییرات ضریب اطمینان پایداری شیروانی به ازاء مقادیر گوناگون قطر ستون اختلاط عمیق، ضریب اطمینان پایداری در برابر لغزش همواره افزایش می‌یابد. مثلاً در روش اجزاء محدود با افزایش قطر ستون‌ها از  $5/0$  به  $1/5$  متر، مقدار ضریب اطمینان به میزان حدود  $15\%$  افزایش می‌یابد. این نشان می‌دهد که به ازاء مقادیر معینی از هندسه‌ی شیروانی، سربار و ویژگی‌های خاک، همواره

### ۲.۳. بررسی اثر نسبت مساحت بهسازی شده در طول پی شیروانی ( $A_{xp}/A_m$ )

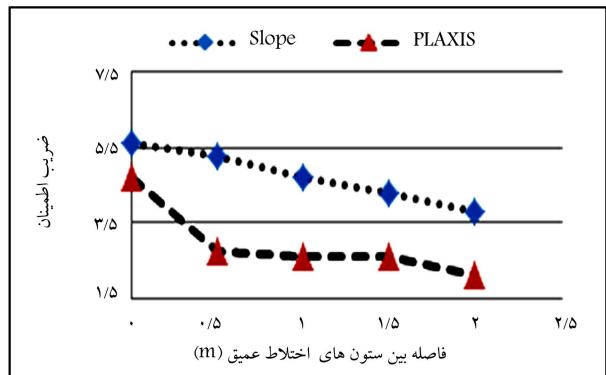
برای بررسی اثر نسبت مساحت بهسازی شده در طول پی شیروانی در پایداری، مدل‌هایی از مسئله‌ی مورد بررسی با نسبت ( $A_{xp}/A_m$ )‌های برابر با  $2/5, 5/0, 2/5, 1/0$  ایجاد و تحلیل شده است.  $A_{xp}$  مساحتی از زیر شیروانی است که با ستون‌های اختلاط عمیق بهسازی شده و  $A_m$  مساحت کل در زیر پی شیروانی و در راستای طول آن است که مقدار آن با توجه به طول برابر با  $10$  متر و عرض



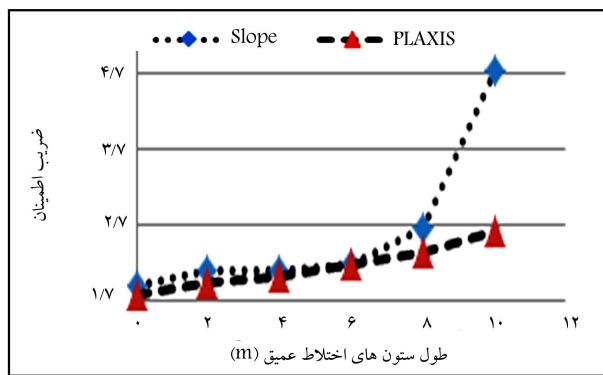
شکل ۱۲. نمو کرنش برشی حاصل از تحلیل پایداری به ازاء طول ستون های برابر با ۴ متر.



شکل ۱۰. تغییرات ضریب اطمینان پایداری شیروانی به ازاء مقادیر گوناگون قطر ستون های اختلاط عمیق.



شکل ۱۳. تغییرات ضریب اطمینان پایداری شیروانی به ازاء مقادیر گوناگون فاصله بین ستون های اختلاط عمیق.



شکل ۱۱. تغییرات ضریب اطمینان پایداری شیروانی به ازاء مقادیر گوناگون طول ستون های اختلاط عمیق.

مقدار قطر بهینه بی برای ستون اختلاط عمیق وجود دارد که اگر قطر ستون از آن بیشتر شود، تأثیر چندانی در افزایش ضرایب اطمینان پایداری ندارد.

سطح لغزش بحرانی از زیر ستون های اختلاط عمیق می گردد و این ستون ها طول کافی جهت قطع سطح لغزش و یا طولانی کردن مسیر آن را ندارند.

همچنین زمانی که طول ستون برابر با ۱۰ متر است، در نتیجه کل ارتفاع لایه ضعیف را در برابر می گیرد. بنابراین سطح لغزش عموری از پی ناگزیر از عبور از آن است و اینکه از لایه ماسه بی متراکم پایین عبور خواهد کرد، به همین دلیل افزایش ناگهانی در مقدار ضریب اطمینان رخ می دهد. این نشان می دهد که به ازاء شرایط هندسی و سربار معین، همواره طولی برای ستون های اختلاط عمیق وجود دارد، که بهسازی به ازاء مقادیر گستر از آن، تأثیر زیادی در افزایش ضریب اطمینان پایداری شیروانی ارزیابی ندارد. در شکل ۱۲، نمو کرنش برشی حاصل از تحلیل پایداری به ازاء طول ستون های برابر با ۴ متر را نشان می دهد.

#### ۴.۳. بررسی اثر طول ستون های اختلاط عمیق ( $L$ )

برای بررسی اثر طول ستون های اختلاط عمیق در افزایش ضریب اطمینان پایداری شیروانی، مدل هایی از ستون با طول های متفاوت ( $L$ )، ۲، ۴، ۶، ۸، و ۱۰ متر، قطر ( $D$ ) ۱ متر و فاصله افقی بین ستون ها ( $S$ ) برابر ۱ متر ایجاد و تحت سربار ۵ کیلونیون بر مترمربع تحلیل و اثر این پارامتر در ضریب اطمینان پایداری شیروانی ارزیابی شده است. مطابق شکل ۱ ارتفاع لایه ضعیف برابر با ۱۰ متر است.

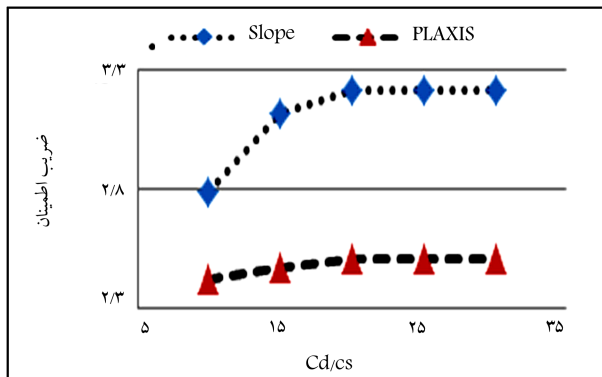
در شکل ۱۱، با استفاده از نتایج حاصل از تحلیل های مدل به هر دو روش اجزاء محدود و تعادل حدی، تغییرات ضریب اطمینان پایداری شیروانی به ازاء مقادیر گوناگون طول ستون های اختلاط عمیق ارائه شده است که مطابق آن با افزایش مقدار طول ستون های اختلاط عمیق، ضریب اطمینان پایداری در برابر لغزش همواره افزایش می باید. برای نمونه، در روش اجزاء محدود با افزایش طول ستون ها از ۲ به ۸ متر، مقدار ضریب اطمینان به میزان حدود ۲۱٪ افزایش می باید.

نکته بی که در شکل ۱۱ قابل توجه است، این است که شبیب نمودار تا طول مشخصی (۴ متر) چندان زیاد نیست و پس از آن، روند افزایش ضریب اطمینان با شبیب تندتری رخ می دهد. بیشترین شبیب نمودار نیز مابین طول های ۸ تا ۱۰ متر وجود دارد. علت این امر آن است که به ازاء طول های ستون ۴ متر و کمتر از آن،

#### ۵. بررسی اثر فاصله بین ستون های اختلاط عمیق ( $S$ )

یکی دیگر از عوامل مؤثر در افزایش ضریب اطمینان پایداری شیروانی واقع بر روی ستون های اختلاط عمیق خاک، فاصله بین ستون هاست. برای بررسی اثر فاصله بین ستون های اختلاط عمیق، مدل هایی از ستون با فواصل مابین متفاوت صفر، ۰.۵، ۱، ۱.۵، ۲، ۵، و ۱۰ متر، طول ( $L$ ) برابر ۱ ایجاد و تحت سربار ۵ کیلونیون بر مترمربع تحلیل و اثر این پارامتر در ضریب اطمینان پایداری شیروانی ارزیابی شده است.

در شکل ۱۳، با استفاده از نتایج حاصل از تحلیل های مدل به هر دو روش



شکل ۱۴. تغییرات ضریب اطمینان پایداری شیروانی به ازاء مقادیر گوناگون نسبت چسبندگی  $C_D/CS$ .

زیادی در افزایش ضریب اطمینان ندارد. با توجه به شکل مذکور، این نسبت بهینه برای مسئله‌ی مورد بررسی در پژوهش حاضر برابر با  $20^{\circ}$  است. در واقع می‌توان گفت که افزایش مقاومت و سختی ستون‌ها به ازاء بارگذاری معین نا مقادیر مشخصی ضروری است. دقت در تعیین کمینه‌ی مقاومت بررسی موردنیاز برای ستون‌های اختلاط عمیق بسیار مهم است، چرا که افزایش مقاومت خاک نسبت مستقیمی با مقدار مصرف مواد تثیت‌کننده دارد. بنابراین انتخاب نامناسب پارامترهای طراحی فقط منجر به صرف هزینه‌های اضافی می‌شود، در حالی که به لحاظ فنی تأثیر بسیار کمی در عملکرد مناسب سازه دارد. مثلاً در روش اجزاء محدود با افزایش نسبت ( $C_D/CS$ ) از  $20$  به  $25$ ، مقدار تغییر در ضریب اطمینان نزدیک به صفر است، در حالی که مقدار چسبندگی مصالح ستون به مقدار  $25\%$  افزایش یافته است. برای چنین افزایشی در مقاومت نیاز به مصرف قابل توجهی مواد پایدارکننده اضافی است، که ممکن است طرح بهسازی را به لحاظ اقتصادی غیر قابل توجیه کند.

### ۷.۳. بررسی اثر محل فرارگیری سطح آب زیرزمینی در پی شیروانی (W.L)

جهت بررسی اثر پارامتر مذکور، مدل‌هایی از مسئله‌ی مورد بررسی با سطح تراز آب‌های گوناگون معادل  $5$ ،  $8$ ،  $12$  و  $16$  متر نسبت به سطح پی شیروانی ایجاد و اثر این پارامتر در ضریب اطمینان پایداری شیروانی و تغییر شکل‌های آن ارزیابی شده است. در تمامی این تحلیل‌ها، نسبت چسبندگی مصالح پی ( $C_D/CS$ ) برابر با  $10$ ، نسبت سطح جایگزینی ( $A_{xp}/A_m$ ) برابر با  $0.5$  و طول ( $L$ )  $10$  متر در نظر گرفته شده و تحت سربار ( $P$ )  $5$  کیلونیوتون بر مترمربع تحلیل شده است. در شکل ۱۵، با استفاده از نتایج حاصل از تحلیل‌های مدل به هر دو روش اجزاء محدود و تعادل حدی، تغییرات ضریب اطمینان پایداری شیروانی به ازاء مقادیر گوناگون نسبت چسبندگی مصالح ( $C_D/CS$ ) ارائه شده است. مطابق شکل مذکور با افزایش این نسبت و یا به عبارت دیگر با افزایش چسبندگی مصالح ستون‌های اختلاط عمیق، ضریب اطمینان پایداری در برابر لغزش همواره افزایش می‌یابد. همچنین با توجه به شکل ۱۴ می‌توان نتیجه گرفت که اگرچه با افزایش ضریب چسبندگی مصالح اختلاط عمیق، میزان ضریب اطمینان افزایش می‌یابد، اما این تغییرات مقادیر ضریب اطمینان چندان قابل ملاحظه نیست. این بدان معناست که برای ویژگی‌های معین از شرایط هندسی لایه‌های خاک و ستون، مقدار بهینه‌ی برای نسبت چسبندگی دو مصالح وجود دارد که اگر این نسبت از آن بیشتر شود، تأثیر

اجزاء محدود و تعادل حدی، تغییرات ضریب اطمینان پایداری شیروانی به ازاء مقادیر گوناگون فاصله بین ستون‌های اختلاط عمیق ارائه شده است. مطابق شکل مذکور، با کاهش فاصله بین ستون‌های اختلاط عمیق، ضریب اطمینان پایداری در برابر لغزش همواره افزایش می‌یابد. اما نقاوت نتایج روش تعادل حدی با نتایج حاصل از روش اجزاء محدود این است که رابطه‌ی بین ضریب اطمینان و پارامتر فاصله مابین ستون‌ها تقریباً به صورت خطی است.

به عنوان نمونه در روش تعادل حدی با کاهش فاصله از  $5^{\circ}$  به صفر، نه فقط افزایش ناگهانی در مقدار ضریب اطمینان رخ نمی‌دهد، بلکه حتی افزایش آن نیز کمتر از حالتی است که فاصله از  $1/5$  تا  $1/5$  متر به  $0/5$  کاهش می‌یابد و در روش اجزاء محدود با کاهش فاصله بین ستون‌ها از  $2^{\circ}$  به  $0/5$  متر، مقدار ضریب اطمینان به میزان حدود  $31\%$  افزایش می‌یابد. در واقع با کاهش فاصله بین ستون‌ها، مقدار پارامتر نسبت جایگزینی سطح افزایش می‌یابد، در نتیجه منجر به دستیابی به مقادیر بالاتری از ضریب اطمینان می‌شود.

مطابق شکل ۱۳، در روش اجزاء محدود شبیه نمودار به ازاء فواصل مابین  $1/5$  تا  $2$  متر به طور قابل ملاحظه‌ی بیشتر از شبیه نمودار در حد فاصل مقدار  $0/5$  تا  $1/5$  متر است که نشان می‌دهد اگر به ازاء بارگذاری و پارامترهای مقاومتی ثابتی برای مصالح، فاصله‌ی بین ستون‌ها از مقدار معینی بیشتر شود، بهسازی مصالح تأثیر زیادی در افزایش ضریب اطمینان ندارد. همچنین مشاهده می‌شود که با کاهش فاصله بین ستون‌ها به مقدار صفر ( $r = 1$ )، افزایش ناگهانی و محسوسی در مقدار ضریب اطمینان پایداری ایجاد می‌شود.

### ۶.۳. بررسی اثر چسبندگی مصالح ستون‌های اختلاط عمیق ( $C_D$ )

مطابق رابطه‌ی ۱، چسبندگی زهکشی نشده‌ی مصالح ستون ( $C_D$ )، رابطه‌ی خطی با مقدار پارامتر چسبندگی زهکشی نشده‌ی خاک ( $C_S$ ) دارد. به طور کلی با افزایش عیار مواد پایدارساز و کاهش نسبت آب به سیمان (یا هر ماده‌ی دیگر) در مخلوط، مقاومت برشی مصالح ستون افزایش می‌یابد.

جهت بررسی اثر پارامتر ذکر شده و برای کاربردی تر کردن نتایج، تحلیل‌ها به ازاء نسبت‌های گوناگون چسبندگی زهکشی نشده‌ی مصالح ستون اختلاط عمیق به چسبندگی زهکشی نشده‌ی خاک ( $C_D/C_S$ ) انجام شده است. بنابراین مدل‌هایی از مسئله‌ی مورد بررسی با نسبت چسبندگی‌های گوناگون  $10$ ،  $15$ ،  $20$  و  $30$ ،  $25$  و  $20$  نسبت سطح جایگزینی ( $A_{xp}/A_m$ ) برابر با  $0/5$  و طول ( $L$ )  $10$  متر ایجاد و تحت سربار ( $P$ )  $5$  کیلونیوتون بر مترمربع تحلیل و اثر این پارامتر در ضریب اطمینان پایداری شیروانی ارزیابی شده است.

در شکل ۱۴، با استفاده از نتایج حاصل از تحلیل‌های مدل به هر دو روش اجزاء محدود و تعادل حدی، تغییرات ضریب اطمینان پایداری شیروانی به ازاء مقادیر گوناگون نسبت چسبندگی مصالح ( $C_D/CS$ ) ارائه شده است. مطابق شکل مذکور با افزایش این نسبت و یا به عبارت دیگر با افزایش چسبندگی مصالح ستون‌های اختلاط عمیق، ضریب اطمینان پایداری در برابر لغزش همواره افزایش می‌یابد.

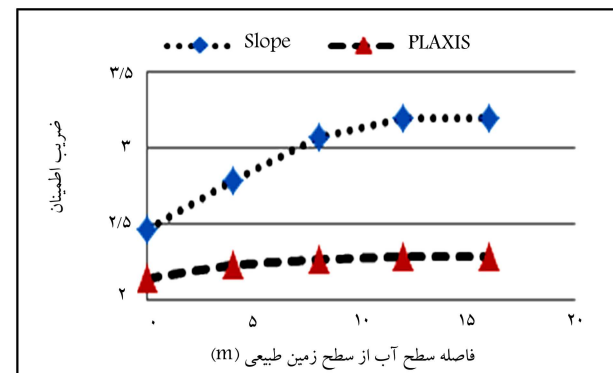
همچنین با توجه به شکل ۱۴ می‌توان نتیجه گرفت که اگرچه با افزایش ضریب چسبندگی مصالح اختلاط عمیق، میزان ضریب اطمینان افزایش می‌یابد، اما این تغییرات مقادیر ضریب اطمینان چندان قابل ملاحظه نیست. این بدان معناست که برای ویژگی‌های معین از شرایط هندسی لایه‌های خاک و ستون، مقدار بهینه‌ی برای نسبت چسبندگی دو مصالح وجود دارد که اگر این نسبت از آن بیشتر شود، تأثیر

- #### ۴. نتیجه‌گیری
- براساس نتایج حاصل از تحلیل‌های مدل به روش اجزاء محدود و تعادل حدی، این نتایج به‌دست آمده است:
۱. براساس نتایج تحلیل‌ها به روش اجزاء محدود، با افزایش مقدار  $X_p/m$  و یا به عبارتی دیگر با افزایش فاصله‌ی موقعیت قرارگیری اولین ردیف ستون‌های اختلاط عمیق نسبت به پنجه‌ی شیروانی، ضربی اطمینان پایداری در برابر لغزش ابتدا کاهش می‌یابد و سپس بعد از مقدار  $X_p/m$  معینی، روند تغییرات ضربی اطمینان افزایشی است. به بیان دیگر می‌توان گفت که همواره در میانه‌ی طول شیروانی مکانی وجود دارد که در صورت قرارگیری و اجرای ستون‌های اختلاط عمیق در آن موقعیت، میزان ضربی اطمینان پایداری شیروانی، کمیه‌است. بیشترین ضربی اطمینان پایداری در حالتی حاصل می‌شود که اولین ردیف ستون‌های اختلاط عمیق در پنجه‌ی شیروانی اجرا شود.
  ۲. براساس نتایج تحلیل‌ها به روش تعادل حدی، با افزایش مقدار  $X_p/m$  و یا به عبارتی دیگر، با افزایش فاصله‌ی موقعیت قرارگیری اولین ردیف ستون‌های اختلاط عمیق نسبت به پنجه‌ی شیروانی، ضربی اطمینان پایداری در برابر لغزش همواره کاهش می‌یابد.
  ۳. مقادیر ضربی اطمینان حاصل از روش تعادل حدی همواره بیشتر از مقادیر حاصل از روش اجزاء محدود است.
  ۴. براساس نتایج حاصل از تحلیل‌های مدل به هر دو روش اجزاء محدود و تعادل حدی، با افزایش مقدار قطر ستون به سازی شده‌ی پی شیروانی، ضربی اطمینان پایداری در برابر لغزش همواره افزایش می‌یابد.
  ۵. براساس نتایج حاصل از تحلیل‌های مدل به هر دو روش اجزاء محدود و تعادل حدی، با افزایش مقدار قطر ستون‌های اختلاط عمیق، ضربی اطمینان پایداری در برابر لغزش همواره افزایش می‌یابد؛ اما به ازاء مقادیر معینی از هندسه‌ی شیروانی، سربار و ویزگی‌های خاک، همواره قطر بهینه‌یی برای ستون اختلاط عمیق وجود دارد که اگر قطر ستون از آن بیشتر شود، تأثیر چندانی در افزایش ضربی اطمینان پایداری ندارد.
  ۶. براساس نتایج حاصل از تحلیل‌های مدل به هر دو روش اجزاء محدود و تعادل حدی، با افزایش مقدار طول ستون‌های اختلاط عمیق، ضربی اطمینان پایداری در برابر لغزش همواره افزایش می‌یابد. همچنین به ازاء شرایط هندسی و سربار معین، همواره طولی برای ستون‌های اختلاط عمیق وجود دارد که بهسازی به ازاء مقادیر کمتر از آن، تأثیر زیادی در افزایش ضربی اطمینان پایداری شیروانی ندارد. در صورت بهسازی کل طول لایه‌ی ضعیف نیز ضربی اطمینان پایداری به طور قابل توجه‌ی نسبت به طول‌های کمتر ستون‌ها، افزایش می‌یابد.
  ۷. براساس نتایج حاصل از تحلیل‌های مدل به روش اجزاء محدود، با کاهش فاصله‌ی بین ستون‌ها از اختلاط عمیق، ضربی اطمینان پایداری در برابر لغزش همواره افزایش می‌یابد. اما به ازاء بارگذاری و پارامترهای مقاومتی ثابتی برای مصالح، اگر فاصله‌ی بین ستون‌ها از مقدار معینی بیشتر شود، بهسازی مصالح تأثیر زیادی در افزایش ضربی اطمینان ندارد. همچنین با کاهش فاصله‌ی بین ستون‌ها به مقدار صفر (نسبت جایگزینی سطح برابر با ۱)، افزایش ناگهانی و محسوسی در مقدار ضربی اطمینان پایداری ایجاد می‌شود.

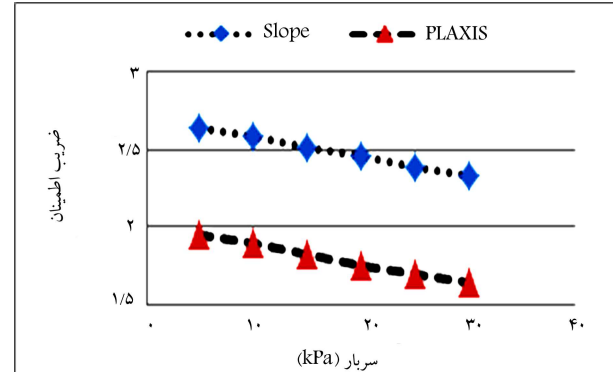
به عنوان نمونه در شکل ۱۵ مشاهده می‌شود که افت سطح آب از عمق ۸ متر به ۱۲ متر تأثیر نسبتاً کمی در افزایش ضربی اطمینان دارد. همچنین با افت سطح آب از ۱۲ متر به ۱۶ متر، هیچ بهبودی در مقدار ضربی اطمینان پایداری شیروانی مشاهده نمی‌شود. علت این امر آن است که به ازاء افت سطح آب تا عمق ۱۲ متر، بیشینه‌ی عمق سطح لغزش بحرانی برابر با ۱۰ متر است، در نتیجه تغییرات سطح آب در پایین تر از گوهی لغزش تأثیری در مقدار ضربی اطمینان پایداری ندارد. حتی به ازاء سطح آب‌های بالاتر از بیشینه‌ی عمق گوهی لغزش که فاصله‌ی چندانی با آن ندارند (همانند افت آب تا عمق ۸ متر)، تغییرات ضربی اطمینان انداک است.

#### ۴.۳. بررسی اثر سربار ( $P$ )

برای بررسی اثر تغییرات سربار واردہ بر شیروانی در پایداری شبی، مدل‌هایی از یک ردیف ستون با نسبت ( $X_p/m$ ) های برابر با ۸، ۱۰، ۱۵، ۲۰، ۲۵، ۳۰ کیلونیوتن بر مترمربع تحلیل شده است. در تمامی تحلیل‌های مذکور، مقدار قطر ستون ( $D$ ) برابر با ۲ متر و طول آن ( $L$ ) برابر با ۱۰ متر در نظر گرفته شده است. در شکل ۱۶، با استفاده از نتایج حاصل از تحلیل‌های مدل به هر دو روش، تغییرات ضربی اطمینان پایداری شیروانی به ازاء مقادیر گوناگون سربار از راهه شده است. مطابق شکل ۱۶، طبق آنچه انتظار می‌رفت، با افزایش مقدار سربار، ضربی اطمینان پایداری در برابر لغزش همواره کاهش می‌یابد. چرا که با افزایش سربار، مقادیر کرنش‌های برشی ایجاد شده در مصالح خاکی افزایش می‌یابد، در نتیجه منجر به کاهش پایداری شیروانی می‌شود.



شکل ۱۵. تغییرات ضربی اطمینان پایداری شیروانی به ازاء مقادیر گوناگون سطح آب زیرزمینی پی.



شکل ۱۶. تغییرات ضربی اطمینان پایداری شیروانی به ازاء مقادیر گوناگون سربار.

۱۱. براساس نتایج حاصل از تحلیل‌های مدل به هر دو روش اجزاء محدود و تعادل حدی، با افزایش عمق فارگیری سطح آب زیرزمینی نسبت به سطح بی شیروانی، ضربی اطمینان پایداری در برابر لغزش همواره افزایش می‌یابد. در واقع کمترین ضربی اطمینان در حالتی رخ می‌دهد که سطح آب منطبق بر سطح بالای بی‌باشد، یا به عبارت دیگر، پی شیروانی کاملاً اشتباع شود. افت سطح آب فقط تا مقدار معینی در افزایش ضربی اطمینان پایداری مؤثر است. تغییرات سطح آب در پایین ترازوگوه لغزش، تأثیری در مقادیر ضربی اطمینان پایداری ندارد.
۱۲. براساس نتایج حاصل از تحلیل‌های مدل به هر دو روش اجزاء محدود و تعادل حدی، با افزایش مقدار سربار، ضربی اطمینان پایداری در برابر لغزش همواره کاهش می‌یابد. همچنین رابطه‌ی تغییرات سربار با ضربی اطمینان پایداری در برابر لغزش را می‌توان به صورت یک معادله‌ی کاملاً خطی بیان کرد. در پایان خاطرنشان می‌شود که نتایج بدست آمده در پژوهش حاضر، فقط براساس شرایط خاصی در یک مدل بدست آمده‌اند و قابل تعمیم به شرایط دیگری در عمل نیست و به این نکته‌ی مهم در حین استفاده از نتایج پژوهش حاضر برای شرایط مشابه باید توجه کرد.
۸. براساس نتایج حاصل از تحلیل‌های مدل به روش تعادل حدی، همانند نتایج حاصل از تحلیل‌ها به روش اجزاء محدود، با کاهش فاصله بین ستون‌های اختلاط عمیق واقع در پی شیروانی، ضربی اطمینان پایداری در برابر لغزش همواره افزایش می‌یابد.
۹. رابطه‌ی بین ضربی اطمینان و پارامتر فاصله بین ستون‌ها تقریباً به صورت خطی است.
۱۰. براساس نتایج حاصل از تحلیل‌های مدل به هر دو روش اجزاء محدود و تعادل حدی، با افزایش چسبندگی مصالح ستون‌های اختلاط عمیق، ضربی اطمینان پایداری در برابر لغزش همواره افزایش می‌یابد. اما اگرچه با افزایش ضربی چسبندگی مصالح اختلاط عمیق، میزان ضربی اطمینان افزایش می‌یابد، اما این افزایش به ازاء سربار مشخص فقط تا مقدار معینی قابل توجه است و بعد از آن تغییرات مقادیر ضربی اطمینان چندان قابل ملاحظه نیست. این بدان معناست که برای ویژگی‌های معین از شرایط هندسی لایه‌های خاک و ستون، مقادیر بهینه‌یی برای نسبت چسبندگی دو مصالح وجود دارد که اگر این نسبت از آن بیشتر شود، تأثیر زیادی در افزایش ضربی اطمینان ندارد.

## منابع (References)

1. Federal Highway Administration., *An Introduction to the Deep Soil Mixing Methods as Used in Geotechnical Applications*, FHWA-RD-99-138 (2000).
2. Jiang, Y., Han, J. and Zheng, G. "Numerical analysis of consolidation of soft soils fully-penetrated by deep-mixed columns", *KSCE Journal of Civil Engineering*, **17**(1), pp. 96-105 (2013).
3. Brinkgreve, R.B.J and Vermeer, P.A., *Plaxis Finite Element Code for Soil and Rock Analyses*, Delft University of Technology, The Netherlands (1998).
4. Venda Oliveira, P.J., Pinheiro, J.L.P. and Correia, A. A.S. "Numerical analysis of an embankment built on soft soil reinforced with deep mixing columns: Parametric study", *Journal of Computers and Geotechnics*, **38**(4), pp. 566-576 (2011).
5. Han, J., Chai, J., Leshchinsky, D. and Shen, S. "Evaluation of Deep-seated slope stability of embankments over deep mixed foundations", *Proceedings of Sessions of the GeoSupport Conference: Innovation and Cooperation in the Geo-Industry, Orlando, Florida, Sponsored by International Association of Foundation Drilling (ADSC), Geo-Institute of ASCE*, pp. 945-954 (January 29-31 2004).
6. Abusharar, S.W., Zheng, J.J. and Chen, B.G. "Finite element modeling of the consolidation behavior of multi-column supported road embankment", *Comput. Geotech.*, **36**(4), pp. 676-685 (2009).
7. Adams, T. "Stability of levees and flood walls supported by Deep-mixed shear walls: Five case studies in the new orleans area", Ph.D. Dissertation, Virginia Tech Blacksburg, VA (2011).
8. Bergado, D.T., Ruenkrairergsa, T., Taesiri, Y. and Balasubramaniam, A.S. "Deep soil mixing to reduce embankment settlement", *Ground Improv. J.*, **3**(3), pp. 1-18 (1999).
9. Bhadriraju, V., Puppala, A.J., Madhyannapu, R. and Williammee, R. "Laboratory procedure to obtain well-mixed soil binder samples of medium stiff to stiff expansive clayey soil for deep soil mixing simulation", *Geotech. Test. J.*, **31**(3), pp. 225-238 (2008).
10. Broms, B.B. "Keynote lecture: Design of lime, lime/cement and cement columns", *International Conference on Dry Mix Methods: Dry Mix Methods for Deep Soil Stabilization*, Stockholm, Sweden. A.A. Balkema, Rotterdam, Netherlands, pp. 125-153 (1999).
11. Bruce, D.A., Bruce, M.E. and Di Millio, A.F. "Deep mixing: QA/QC and verification methods", *Proceedings of Deep Mixing Workshop 2002 in Tokyo, Port and Airport Research Institute & Coastal Development Institute of Technology* (2002).
12. CDIT (Coastal Development Institute of Technology)., *The Deep Mixing Method: Principle, Design and Construction*, A.A. Balkema, The Netherlands (2002).
13. DJM (Deep Jet Mixing) Research Group, *The Manual for the Dry Jet Mixing Method*, pp. 20-31 (1984).
14. FHWA-RD-99-138., *An Introduction to the Deep Soil Mixing Methods as Used in Geotechnical Applications*,

- prepared by Geosystems (Bruce DA) for US Department of Transportation, Federal Highway Administration, 143 p. (2000).
15. Filz, G., Adams, T., Navin, M. and Templeton, A., *Design of Deep Mixing for Support of Levees and Flood-walls*, In: Johnsen, L.F., Bruce, D.A. and Byle, M.J. (Eds.), Grouting and Deep Mixing, USA, pp. 89-133 (2012).
  16. Han, J., Huang, J. and Porbaha, A. "2D numerical modeling of a constructed geosynthetic reinforced embankment over deep mixed columns", *Contemporary Issues in Foundation Engineering* (2005).
  17. Horpibulsuk, S., Rachan, R. and Suddeepong, A. "State of art in strength development of soil-cement columns", *Ground Improv.*, **165**(4), pp. 201-215 (2012a).
  18. Horpibulsuk, S., Chinkulkijniwat, A., Cholphatsorn, A., Suebsuk, J. and Liu, M.D. "Consolidation behav-ior of soil cement column improved ground", *Comput. Geotech.*, **43**, pp. 37-50 (2012b).
  19. Hossain, M.S., Haque, M.A. and Rao, K.N. "Embankment over soft soil improved with chemico pile-A numerical study", *Advances in Earth Structures: Research to Practice*, GSP 151, USA, pp. 239-246 (2006).
  20. Huang, J. and Han, J. "3D coupled mechanical and hydraulic modeling of a geosynthetic reinforced deep mixed column-supported embankment", *Geotext. Geomembr.*, **27**(4), pp. 272-280 (2009).
  21. Huang, J., Han, J. and Porbaha, A. "Two and three-dimensional modeling of DM columns under embankments", *GeoCongress*, , USA, pp. 1-5 (2006).
  22. Jansawang, P., Bergado, D.T. and Voottipruek, P. "Field behavior of stiffened deep cement mixing piles", *Proceedings of the Institution of Civil Engineers - Ground Improvement*, **164**(1), pp. 33-49 (2010).